

Sistema de partículas no grafo completo com remoção ao pular

Mario Andres Estrada¹

CCEN-Universidade Federal de Pernambuco, Recife, PE

Resumo.

Estudamos um sistema de partículas no grafo completo, no qual cada partícula é retirada após visitar um vértice e/ou acordar uma partícula dormente se o vértice contiver uma. Esta é uma variação do modelo conhecido como modelo dos sapos com tempo de vida não geométrico. Consideramos que o processo começa com uma partícula ativa em um único vértice. Mostramos que a proporção de vértices visitados e que o tempo de absorção do processo convergem em probabilidade para zero quando a quantidade de vértices no grafo completo tende para infinito.

Palavras-chave. Modelo dos sapos, grafo completo, passeios aleatórios, modelo não markoviano.

1 Introdução

O modelo dos sapos é um modelo estocástico para a propagação de uma epidemia em um grafo, no qual uma partícula dormente passa a realizar um passeio aleatório simples e a acordar outras partículas, uma vez que se torna ativa. Estudamos uma versão do modelo dos sapos no grafo completo com $N + 1$ vértices, em que cada partícula ativa é removida ao pular e se o vértice escolhido por esta partícula tiver uma partícula dormente, ela é acordada e começa a realizar um passeio aleatório simples na estrutura geométrica, independente da trajetória realizada pela partícula anterior. Por simplicidade nos referiremos a este modelo pelo nome Pula-Morre. Este modelo foi introduzido pela primeira vez em \mathbb{Z} por Lebensztayn et al. [7], os autores consideraram que cada partícula ativa pode realizar L saltos para vértices escolhidos uniformemente ao acaso, ativando todas as partículas inativas que encontra ao longo do seu caminho. Se $L = 1$, o modelo dos autores coincide com nosso modelo. Estudamos o tempo em que todas as partículas se tornam inativas, denotado de tempo de absorção, como também a proporção de vértices visitados ao finalizar o grafo.

Os tempos aleatórios têm sido um dos focos no estudo do modelo dos sapos em diferentes estruturas geométricas e considerando diferentes tempos de vida das partículas. A variável aleatória tempo de acordar, é entendida como o tempo que lhe tomam a todas as partículas acordarem no grafo completo, ela tem sido amplamente estudada em Frieze and Grimmett [3], Doerr and Kühnemann [2] e Pittel [8]. Em todas estas, considera-se que existe uma partícula em cada um dos vértices do grafo completo e como condição inicial considera-se que uma delas está ativa e as outras inativas. Se considera que as partículas ativas não são removidas em nenhum instante de tempo. Uma partícula se move seguindo a dinâmica de um passeio aleatório simples, ativando as demais ao visitar um vértice contendo uma partícula inativa. Os autores em Cartern et al. [1], fizeram um resumo dos resultados abordando este tema, além mostraram uma prova para o valor esperado do tempo de acordar ser $\Theta(\log n)$, em que n a quantidade de vértices no grafo completo.

¹marioestrada@gmail.com, mael1@de.ufpe.br

Neste trabalho mostramos que o tempo de absorção para o processo denominado Pula-Morre é de $o_p(N + 1)$, entendendo $X_n = o_p(b_n)$ se para todo número real $\varepsilon > 0$ e para todo número real $\eta > 0$ existir um número inteiro positivo $n_0 = n_0(\varepsilon, \eta)$, tal que

$$\mathbb{P}(|X_n/b_n| \geq \varepsilon) < \eta, \quad \forall n \geq n_0.$$

2 Representação estocástica

O processo consiste em duas ações principais, pular e ocupar. Elas podem ser pensadas como operações que acontecem em instantes alternativos entre t e $t + 1$ mas só são registradas no tempo $t + 1$, para qualquer instante de tempo. Assuma-se um grafo completo com $N + 1$ vértices denotado por K_{N+1} e suponha que há dois tipos de partículas: partículas ativas e inativas. Como condição inicial assumimos que um vértice em K_{N+1} tem uma partícula ativa e as outras partículas estão inativas. Denota-se o número de partículas ativas no tempo t como A_t e o número de vértices não visitados como I_t . O número de vértices visitados no tempo t é denotado por $V_t = N + 1 - I_t$ e o número de partículas mortas até o instante t é $D_t = V_t - A_t$. Conhecido o estado do processo (I_t, A_t, D_t) no tempo t , consideram-se duas variáveis aleatórias auxiliares, denotadas por X_{t+1} e Z_{t+1} .

Como foi dito na Introdução, consideramos uma única partícula ativa mas é possível também considerar k partículas ativas na condição inicial. A seguinte descrição considera $k \geq 1$, as partículas ativas pulam com probabilidade 1, tentando atingir um vértice não visitado, devido que no caso contrário o processo finalizaria. A dinâmica anteriormente citada pode ser descrita, no tempo $t + 1$, por: $Z_{t+1} \sim \text{Binomial}(A_t; \frac{I_t}{N})$. A geração de novas partículas vem determinada pelos vértices inativos que são visitados pelas partículas ativas. Para conhecer a quantidade de partículas novas no sistema no tempo $t + 1$, ao número de vértices não visitados no tempo anterior lhe subtraímos o número de vértices inativos no tempo $t + 1$. O número de vértices não visitados, no tempo $t + 1$, vem especificado por: $I_{t+1} \sim \text{EmpBox}(Z_{t+1}; I_t)$, para mais informação sobre EmpBox, veja-se Apêndice A. Descrevemos o processo como segue:

$$\begin{cases} I_{t+1} = I_t - Y_{t+1}. \\ A_{t+1} = Y_{t+1} \text{ e} \\ D_{t+1} = V_{t+1} - A_{t+1} = N + 1 - I_{t+1} - A_{t+1} = N + 1 - I_t. \end{cases}$$

Onde Y_{t+1} é a variável aleatória que representa o número de vértices ocupados no tempo $t + 1$.

3 Resultados principais

3.1 Proporção de vértices visitados

Seja $\mathcal{G}_t = \sigma(\{(I_u, A_u, D_u), 0 \leq u \leq t\})$ a sigma álgebra gerada pelo vetor aleatório até o tempo t , representando a informação acumulada depois de t passos do modelo dos sapos com o segundo mecanismo de remoção. Redefinimos neste capítulo o valor esperado, a variância e a covariância condicionada à filtração \mathcal{G}_t como: $\mathbb{E}(\cdot) = E(\cdot | \mathcal{G}_t)$ e $\mathbb{V}(\cdot) = \text{Var}(\cdot | \mathcal{G}_t)$.

Lemma 3.1. *As expressões para os valores esperados condicionados a \mathcal{G}_t para I_{t+1} , A_{t+1} e D_{t+1}*

são:

$$\begin{aligned}\mathbb{E}(I_{t+1}) &= I_t \left(1 - \frac{1}{N}\right)^{A_t}, \\ \mathbb{E}(A_{t+1}) &= I_t \left[1 - \left(1 - \frac{1}{N}\right)^{A_t}\right], \\ \mathbb{E}(D_{t+1}) &= N + 1 - I_t,\end{aligned}$$

respectivamente.

Demonstração. Usando a expressão (1) no Apêndice A, calculamos:

$$\begin{aligned}\mathbb{E}(I_{t+1}|Z_{t+1}) &= E(I_{t+1}|Z_{t+1}, \mathcal{G}_t) \\ &= I_t \left(1 - \frac{1}{I_t}\right)^{Z_{t+1}}\end{aligned}$$

O que implica, tomando novamente valor esperado, que

$$\begin{aligned}\mathbb{E}(I_{t+1}) &= E(E(I_{t+1}|Z_{t+1}, \mathcal{G}_t)|\mathcal{G}_t) \\ &= E\left(I_t \left(1 - \frac{1}{I_t}\right)^{Z_{t+1}} \middle| \mathcal{G}_t\right) \\ &= I_t \left(1 - \frac{I_t}{N} \left(1 - 1 + \frac{1}{I_t}\right)\right)^{A_t} \\ &= I_t \left(1 - \frac{1}{N}\right)^{A_t}.\end{aligned}$$

- Valor esperado A_{t+1} :

$$\begin{aligned}\mathbb{E}(A_{t+1}) &= \mathbb{E}(I_t) - \mathbb{E}(I_{t+1}), \\ &= I_t - I_t \left(1 - \frac{1}{N}\right)^{A_t} \\ &= I_t \left[1 - \left(1 - \frac{1}{N}\right)^{A_t}\right].\end{aligned}$$

- Valor esperado D_{t+1} :

$$\mathbb{E}(D_{t+1}) = N + 1 - I_t.$$

□

Usando o Lema 3.1 e os momentos no Apêndice A, temos que

Lemma 3.2. *As expressões para a variância condicionada a \mathcal{G}_t de I_{t+1} , D_{t+1} e A_{t+1} são:*

$$\begin{aligned}\mathbb{V}(I_{t+1}) &= I_t \left\{ (I_t - 1) \left(1 - \frac{2}{N}\right)^{A_t} - I_t \left(1 - \frac{1}{N}\right)^{2A_t} + \left(1 - \frac{1}{N}\right)^{A_t} \right\}, \\ \mathbb{V}(D_{t+1}) &= 0 \text{ e} \\ \mathbb{V}(A_{t+1}) &= \mathbb{V}(I_{t+1}),\end{aligned}$$

respectivamente.

Demonstração. Tendo como objetivo aplicar a fórmula da decomposição da variância, calculem-se

- *Variância de I_{t+1} :* Temos que $\mathbb{E}(I_{t+1}|Z_{t+1}) = I_t \left(\frac{I_t-1}{I_t}\right)^{Z_{t+1}}$ e por (2) do Apêndice A, temos que $Var(I_{t+1}|Z_{t+1}, \mathcal{G}_t) = I_t(I_t - 1) \left(\frac{I_t-2}{I_t}\right)^{Z_{t+1}} + I_t \left(\frac{I_t-1}{I_t}\right)^{Z_{t+1}} - I_t^2 \left(\frac{I_t-1}{I_t}\right)^{2Z_{t+1}}$, em consequência podemos concluir que:

$$\begin{aligned} \mathbb{V}(I_{t+1}) &= I_t(I_t - 1) \left(1 - \frac{2}{N}\right)^{A_t} + I_t \left(1 - \frac{1}{N}\right)^{A_t} - I_t^2 E \left(\left(\frac{I_t-1}{I_t}\right)^{2Z_{t+1}} \middle| \mathcal{G}_t \right) + \\ &\quad + I_t^2 E \left(\left(\frac{I_t-1}{I_t}\right)^{2Z_{t+1}} \middle| \mathcal{G}_t \right) - I_t^2 \left(1 - \frac{1}{N}\right)^{2A_t}, \\ &= I_t(I_t - 1) \left(1 - \frac{2}{N}\right)^{A_t} + I_t \left(1 - \frac{1}{N}\right)^{A_t} - I_t^2 \left(1 - \frac{1}{N}\right)^{2A_t}. \end{aligned}$$

- *Variância de D_{t+1} e A_{t+1} :*

$$\begin{aligned} \mathbb{V}(D_{t+1}) &= \mathbb{V}(N + 1 - I_t), \\ &= 0. \end{aligned}$$

Por outro lado, temos que $A_{t+1} = Y_{t+1} = I_t - I_{t+1}$, em consequência temos que: $\mathbb{V}(A_{t+1}) = \mathbb{V}(I_{t+1})$. □

Consideramos o seguinte sistema dinâmico a tempo discreto, $\varrho_t^{(N)} = (\tilde{l}_t^{(N)}, \tilde{\alpha}_t^{(N)}, \tilde{\delta}_t^{(N)})$, em que

$$\begin{cases} \tilde{l}_{t+1} = \tilde{l}_t e^{-\tilde{\alpha}_t}, & (1a) \\ \tilde{\alpha}_{t+1} = \tilde{l}_t (1 - e^{-\tilde{\alpha}_t}), & (1b) \\ \tilde{\delta}_{t+1} = 1 - \tilde{l}_t, & (1c) \\ \tilde{l}_0 = \frac{N}{N+1}, \quad \tilde{\alpha}_0 = \frac{1}{N+1}, \quad \tilde{\delta}_0 = 0. \end{cases}$$

As técnicas usadas em Lebensztayn and Estrada [6] mostram que o sistema acima se aproxima em probabilidade a sua contraparte estocástica $\eta_t := (I_t, A_t, D_t)/(N + 1)$ a medida que N vai para infinito para todo t . Isto é, $\eta_t - \varrho_t \xrightarrow{P} 0$ para todo t quando $N \rightarrow \infty$, onde \xrightarrow{P} denota convergência em probabilidade.

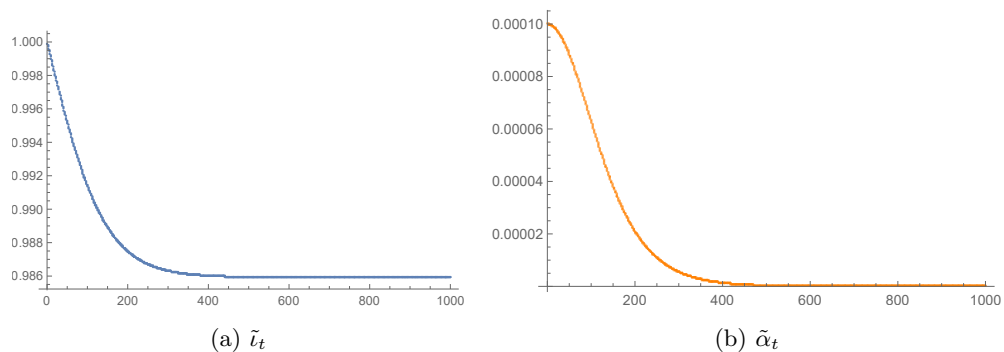


Figura 1: Gráficos para o sistema dinâmico ϱ_t para $N = 10000$.

Observação 3.1. *O sistema acima em (1) exibe uma única solução em $\tilde{v}_\infty = 1$ quando $t \rightarrow \infty$ e $N \rightarrow \infty$. Podemos observar o anteriormente descrito na Figura 1a, em que o sistema se estabiliza perto de um ponto aproximado a 1 para $N = 10000$.*

Defina $\lim_{t \rightarrow \infty} V_t = V_\infty$ e $\lim_{t \rightarrow \infty} I_t = I_\infty$. Devido que o sistema exibe uma única solução, $\tilde{v}_\infty = 1$, concluímos que $\frac{I_\infty}{N+1} \xrightarrow{p} 1$ quando $N \rightarrow \infty$. Finalmente, já que $\frac{V_t}{N+1} = 1 - \frac{I_t}{N+1}$ para todo t , concluímos que $\frac{V_\infty}{N+1} \xrightarrow{p} 0$ quando $N \rightarrow \infty$.

O resultado anterior, também é válido considerando k partículas em um dos vértices do grafo completo como condição inicial.

3.2 Tempo de absorção

A seguinte análise é considerando $k = 1$. Defina o tempo de parada do processo, que é o tempo em que é absorvido o processo, como

$$T = \min\{t : A_t = 0\}.$$

Pelo Lema 3.1, temos que $\mathbb{E}(I_{t+1}) = I_t (1 - \frac{1}{N})$. Defina $m_t = I_{t-1} (1 - \frac{1}{N})^{-t+1}$, a expressão anterior é um martingal, isto é, $\mathbb{E}(m_t) = m_{t-1}$.

Consideremos a seguinte relação

$$\begin{aligned} P \left(\left| \left(\frac{N}{N-1} \right)^T \frac{I_T}{N+1} - \frac{I_0}{N+1} \right| > \varepsilon \right) &\leq \frac{\text{Var} \left(\left(\frac{N}{N-1} \right)^T I_T \right)}{(N+1)^2 \varepsilon^2} \\ &\leq \frac{\left(\frac{N}{N-1} \right)^{2N} \text{Var}(I_T)}{(N+1)^2 \varepsilon^2}. \end{aligned}$$

Aplicando a Lei da Variância Total, os Lema 3.1, Lema 3.2 e o Teorema da convergência dominada, obtemos que:

$$\frac{\text{Var}(I_T)}{(N+1)^2} = \frac{E(\mathbb{V}(I_T)) + \text{Var}(\mathbb{E}(I_T))}{(N+1)^2} \rightarrow 0 \quad \text{quando } N \rightarrow \infty.$$

Seja $f_N(x) := \left(\frac{N}{N-1} \right)^x (1-x) - \frac{N}{N+1}$. Notando que $I_t = A_0 + I_0 - T$, concluímos que

$$\lim_{N \rightarrow \infty} \mathbb{P} \left(\frac{T}{N+1} \in (f_N^{-1}(-\varepsilon), f_N^{-1}(\varepsilon)) \right) = 1.$$

Implicando

$$\frac{T}{N+1} \xrightarrow{p} 0, \quad \text{quando } N \rightarrow \infty.$$

4 Estudos de simulação

Nesta Seção, ilustraremos por meio de estudos de simulação, o resultado obtido na Seção 3.2. Na Figura 2 observamos 3000 realizações do tempo de absorção dividido por $N + 1$ representados pelos pontos azuis, em que o eixo x representa o grau do grafo completo. Observamos que a medida que N aumenta, as realizações vão se concentrando numa vizinhança de zero. As funções $f_N^{-1}(-\varepsilon)$ e $f_N^{-1}(\varepsilon)$ são representadas pelos pontos roxos, escolhendo $\varepsilon = \frac{1}{N}$.

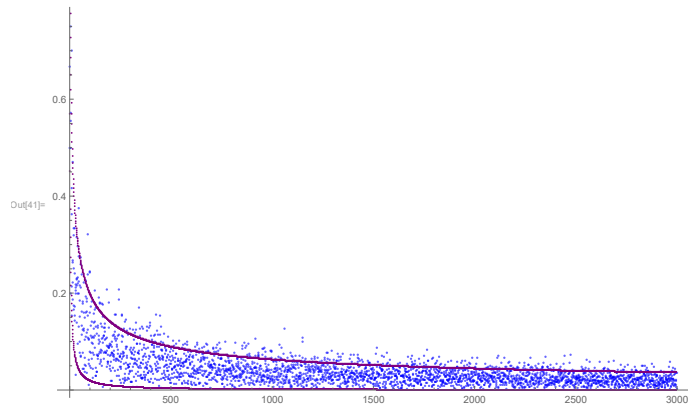


Figura 2: 3000 realizações para o tempo de absorção dividido por $N + 1$.

Na Figura 3 observamos 3000 realizações para o tempo de absorção representadas pelos pontos da cor magenta. Nessa figura, são representadas três funções $N^{2/3}$, \sqrt{N} e $N^{1/3}$. A Figura 3 sugere que existe uma relação entre T e \sqrt{N} . O autor em Harris [4] trabalhou com um mapeamento aleatório, cuja descrição coincide com o modelo Pula-Morre com uma partícula ativa, as abordagens usadas no artigo mostraram que o mapeamento com m imagens sucessivas distintas tem valor esperado assintótico $\frac{1}{4}\sqrt{2\pi N}$. O anterior, nos motiva a continuar trabalhando numa caracterização do tempo de absorção para $k > 1$.

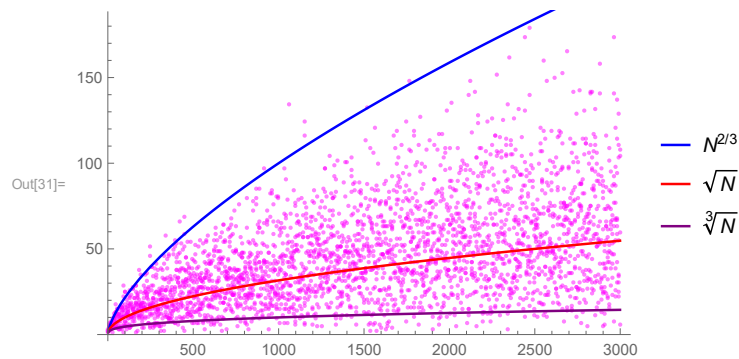


Figura 3: 3000 realizações para o tempo de absorção.

5 Conclusões

Foi mostrado que a proporção de vértices para o modelo Pula Morre converge para zero em probabilidade, usando a técnica planteada em Lebensztayn and Estrada [6]. Por sua vez, foram usadas técnicas de martingais, inspiradas no trabalho Sudbury [9], para mostrar que o tempo de absorção é $o_p(N + 1)$.

6 Agradecimentos

Agradeço à Coordenação de Aperfeiçoamento de Pessoal de Nível Superior (Processo No. 88887.351976/2019-00 do Programa Nacional de Pós-Doutorado) e à Fundação de Amparo à

Ciência e Tecnologia de Pernambuco—FACEPE (Processo No. BCT - 0217-1.02/19). Agradeço a meus supervisores Pablo Rodriguez e ao Alex Dias Ramos, pela supervisão e apoio. Agradeço também ao revisor anônimo pelas valiosas sugestões que ajudaram a melhorar o texto.

A Distribuição de urnas vazias

Nesta seção apresentaremos o clássico problema de ocupação, fazendo referência ao leitor interessado a Johnson [5, Seção 4 do Capítulo 10] para mais detalhes. Consideramos uma distribuição aleatória de b bolas em c caixas, de forma que são colocadas independentemente e uniformemente nas caixas. Seja X a variável aleatória que denota o número de caixas vazias depois que as bolas tenham sido distribuídas. Então a função de massa de probabilidade de X é dada por

$$P(X = x) = \sum_{i=0}^{c-x} (-1)^i \binom{x+i}{i} \binom{c}{x+i} \left(1 - \frac{x+i}{c}\right)^b, \quad x = 0, 1, \dots, c.$$

Escrevemos $X \sim \text{EmpBox}(b, c)$. Na sequência, usaremos as fórmulas para a esperança e a variância de X , que são dadas por

$$\mathbb{E}(X) = c \left(\frac{c-1}{c}\right)^b, \quad e \tag{1}$$

$$\text{Var}(X) = c(c-1) \left(\frac{c-2}{c}\right)^b + c \left(\frac{c-1}{c}\right)^b - c^2 \left(\frac{c-1}{c}\right)^{2b}. \tag{2}$$

Referências

- [1] Nikki Cartern, Brittany Dygert, Matthew Junge, Stephen Lacina, Collin Litterell, Austin Stromme, and Andrew You. Frog model wakeup time on the complete graph, 2015.
- [2] Benjamin Doerr and Marvin Künnemann. Tight analysis of randomized rumor spreading in complete graphs. In *Proceedings of the Meeting on Analytic Algorithmics and Combinatorics*, page 82–91, USA, 2014. Society for Industrial and Applied Mathematics.
- [3] A.M. Frieze and G.R. Grimmett. The shortest-path problem for graphs with random arc-lengths. *Discrete Applied Mathematics*, 10(1):57 – 77, 1985. ISSN 0166-218X.
- [4] Bernard Harris. Probability distributions related to random mappings. *Ann. Math. Statist.*, 31(4):1045–1062, 12 1960. doi: 10.1214/aoms/1177705677.
- [5] Johnson, N.; Kotz, S.; Kemp, A. *Univariate discrete distributions*. [S.l.]: John Wiley & Sons, 1992. (Wiley series in probability and mathematical statistics: Probability and mathematical statistics).
- [6] Elcio Lebensztayn and Mario Andrés Estrada. Laws of large numbers for the frog model on the complete graph. *Journal of Mathematical Physics*, 60(12):123302, 2019.
- [7] Elcio Lebensztayn, Fábio Prates Machado, and Mauricio Zuluaga Martinez. Random walks systems with killing on \mathbb{Z} . *Stochastics*, 80(5):451–457, 2008. doi: 10.1080/17442500701748609.
- [8] Boris Pittel. On spreading a rumor. *SIAM Journal on Applied Mathematics*, 47(1):213–223, 1987. ISSN 00361399.
- [9] Aidan Sudbury. The proportion of the population never hearing a rumour. *Journal of Applied Probability*, 22(2):443–446, 1985. doi: 10.2307/3213787.